

## 第2回利用研究課題の審査結果について

放射光利用研究促進機構  
財団法人高輝度光科学研究センター  
利用業務部

### 1. 課題選定

第2回共同利用期間の利用研究課題の募集が本年1月6日に締め切られ、直ちに応募があった305件の課題について利用研究課題選定委員会において、生命科学、散乱・回折、XAFS、分光、実験技術・方法の5分科会に分かれて科学技術的妥当性及びSPring-8を利用する必要性についての審査が行われるとともに、SPring-8側での技術的な実施可能性及び安全性の確認が行われ、229件がこの期間の課題として選定され、ビームタイムの配分案が作成された。この結果は2月23日に開催された諮問委員会で承認され、各応募者に通知された。この中にはインドの5件、アメリカ、イギリス、ドイツ、カナダの各1件の計9件の海外からの課題が含まれている。

選定された利用研究課題についての研究は、SPring-8に設置された10本の共用ビームラインと原

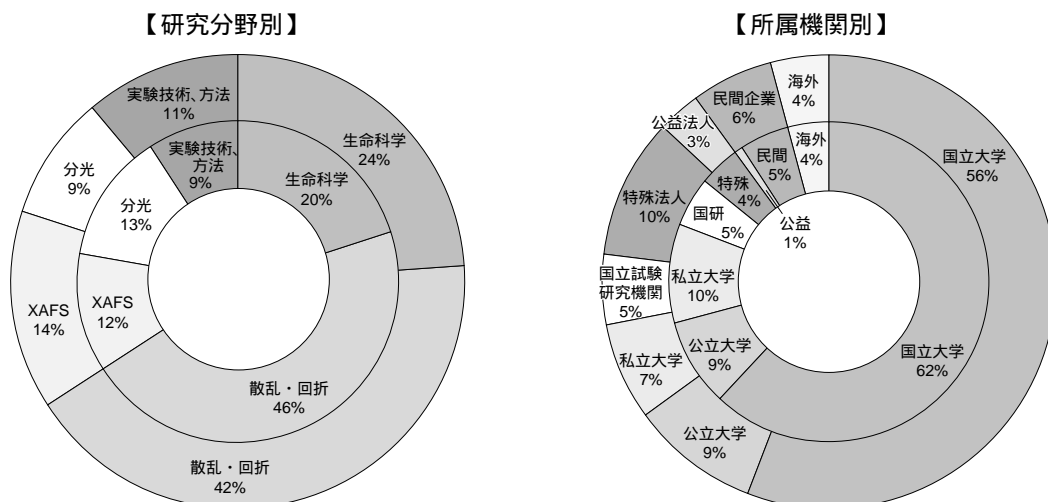
研、理研のビームライン各2本、R&D用ビームライン1本の計15本を用いて、本年4月から10月までの第2回共同利用期間に実施される。

### 2. 共同利用期間の区切り変更

現在、年度の前半と後半になっている共同利用期間の区切りを、暦年の前半と後半に変更することとなり、そのための移行措置として第2回及び第3回共同利用期間を各々約1.5ヵ月延長し、平成11年後半から暦年区切りの6ヵ月毎の共同利用期間とすることとなった。

これは年度区切りの場合、課題選定の時期が審査委員の多忙な時期と重なっており審査期間の確保が困難なこと、及び夏期・冬期の長期運転停止期間が各共同利用期間の中間に位置し、ユーザーの実験が中断されてしまう等の不具合があるためである。

### SPring-8利用研究課題 選定概要



利用研究課題の応募及び選定概要

分野別	今回応募分		今回選定分		前回応募分		前回選定分	
生命科学	78	25.6%	56	24.5%	43	21.7%	26	20.0%
散乱・回折	120	39.3%	96	41.9%	89	44.9%	59	45.4%
X A F S	50	16.4%	32	14.0%	26	13.1%	16	12.3%
分光	25	8.2%	20	8.7%	24	12.1%	17	13.1%
実験技術、方法	32	10.5%	25	10.9%	16	8.1%	12	9.2%
計	305	100.0%	229	100.0%	198	100.0%	130	100.0%

		機関別		今回選定分		前回応募分		前回選定分			
海外分内訳 ( )は応募数	今回	国立大学	163	53.4%	127	55.5%	121	61.1%	81	62.3%	
		公立大学	28	9.2%	21	9.2%	16	8.1%	12	9.2%	
		私立大学	21	6.9%	15	6.6%	21	10.6%	13	10.0%	
		国立試験研究機関	12	3.9%	12	5.2%	9	4.5%	7	5.4%	
	インド	5(13)	特殊法人	29	9.5%	23	10.0%	5	2.5%	5	3.8%
	カナダ	1(3)	公益法人	10	3.3%	8	3.5%	2	1.0%	1	0.8%
	イギリス	1(2)	民間企業	21	6.9%	14	6.1%	11	5.6%	6	4.6%
	アメリカ	1(1)	海外	21	6.9%	9	3.9%	13	6.6%	5	3.8%
	ドイツ	1(1)	計	305	100.0%	229	100.0%	198	100.0%	130	100.0%
	スウェーデン	0(1)									

		地域別		今回選定分		前回応募分		前回選定分			
前回	インド	5(11)	北海道	6	2.0%	6	2.6%	3	1.5%	2	1.5%
	ドイツ	0(1)	東北	5	1.6%	4	1.7%	2	1.0%	1	0.8%
	韓国	0(1)	関東	68	22.3%	52	22.7%	51	25.8%	34	26.2%
			中部	21	6.9%	17	7.4%	12	6.1%	6	4.6%
			近畿	149	48.9%	112	48.9%	92	46.5%	68	52.3%
			中国	22	7.2%	20	8.7%	19	9.6%	12	9.2%
			四国	6	2.0%	4	1.7%	2	1.0%	1	0.8%
			九州	7	2.3%	5	2.2%	4	2.0%	1	0.8%
			海外	21	6.9%	9	3.9%	13	6.6%	5	3.8%
			計	305	100.0%	229	100.0%	198	100.0%	130	100.0%

ビームライン別		今回応募分		今回選定分		前回応募分		前回選定分	
BL01B1	XAFS(X線吸収微細構造)	43	14.1%	27	11.8%	23	11.6%	16	12.3%
BL02B1	結晶構造解析	32	10.5%	28	12.2%	34	17.2%	17	13.1%
BL04B1	高温構造物性	29	9.5%	28	12.2%	15	7.6%	15	11.5%
BL08W	高エネルギー非弾性散乱	10	3.3%	7	3.1%	5	2.5%	4	3.1%
BL09XU	核共鳴散乱	37	12.1%	20	8.7%	25	12.6%	23	17.7%
BL10XU	高圧構造物性	25	8.2%	21	9.2%	16	8.1%	6	4.6%
BL25SU	軟X線固体分光	6	2.0%	6	2.6%	12	6.1%	7	5.4%
BL27SU	軟X線光化学	6	2.0%	5	2.2%	3	1.5%	2	1.5%
BL39XU	生体分析	25	8.2%	19	8.3%	16	8.1%	13	10.0%
BL41XU	生体高分子結晶構造解析	60	19.7%	39	17.0%	36	18.2%	22	16.9%
その他		32	10.5%	29	12.7%	13	6.6%	5	3.8%
計		305	100.0%	229	100.0%	198	100.0%	130	100.0%

注：前回応募分には当初受付分190件に、遅れて到着したインド分8件が含まれている。

また、前回選定分には当初ビームタイム配分の128件に、追加配分のインド分2件が含まれている。

利用研究課題(第2回共用期間:H10.04~H10.10)

No.	課題番号	利用研究課題	実験責任者	所属	国名	ビームライン	ｼﾌﾄ	
1	1998A0002-CL	-np	ヒト高親和性IgEレセプタータンパク質の結晶構造解析	西田 洋一	朝日製作所	日本	BL41XU	1
2	1998A0003-NOD	-np	パラドデカタングステン酸ナトリウムの結晶構造解析	尾関 智二	東京工業大学	日本	BL02B1	3
3	1998A0006-CD	-np	核共鳴散乱線ビーム特性の内部磁場回転速度依存性の研究	三井 隆也	日本原子力研究所	日本	BL09XU	9
4	1998A0010-CX	-np	シリカガラス中の極微量Cuイオンの構造と発光特性の関係	薩山 博之	大阪工業技術研究所	日本	BL01B1	3
5	1998A0011-NL	-np	高電子密度マーカーを用いた蛋白質小規模構造変化の検出の試み	岩本 裕之	高輝度科学センター	日本	BL45XU	8
6	1998A0012-NOM	-np	壊変核種の半減期をえる試み	馬場 宏	大阪大学	日本	BL08W	4
7	1998A0014-NL	-np	時分割回折斑点追跡法の基礎検討	佐々木裕次	朝日製作所	日本	BL44B2	8
8	1998A0015-CD	-np	核共鳴非弾性散乱法の開発研究	瀬戸 誠	京都大学	日本	BL09XU	21
9	1998A0019-CD	-np	ヘム蛋白質のX線非弾性散乱	原見 太幹	日本原子力研究所	日本	BL09XU	9
10	1998A0020-CD	-np	固液界面の動的構造解析	伊藤 正時	慶應義塾大学	日本	BL09XU	12
11	1998A0022-NL	-np	リボソーム蛋白質L2の構造解析	田中 勲	北海道大学	日本	BL41XU	3
12	1998A0023-NL	-np	多波長異常分散法によるACC deaminase の構造解析	中川 敦史	北海道大学	日本	BL41XU	3
13	1998A0025-NL	-np	二酸化固定能が高い紅藻 Galdieria Partita 由来RuBisCO の構造解析	甲斐 泰	大阪大学	日本	BL41XU	6
14	1998A0026-CD	-np	高エネルギーX線を用いたK3H(SO4)2結晶の精密結晶構造解析	笠谷 祐史	静岡理工科大学	日本	BL02B1	12
15	1998A0028-NM	-np	電子材料及び難加工性材料のエッチング	石黒 英治	琉球大学	日本	BL27SU	63
16	1998A0032-NX	-np	XAFS測定によるペロブスカイト型酸化物結晶固体電解質の局所的構造解析	内本 喜晴	京都大学	日本	BL01B1	2
17	1998A0034-CD	-np	高温高圧下におけるヒ素カルコゲナイドの半導体-金属転移に伴う構造変化	遺藤 裕久	福井工業大学	日本	BL04B1	9
18	1998A0036-ND	-np	(Mg,Fe)2SiO4オリビン-変形スピネル相境界の精密決定	松井 正典	九州大学	日本	BL04B1	3
19	1998A0037-CD	-np	遷移金属元素を含む酸化物の圧力誘起高スピン-低スピン転移	永井 隆哉	大阪大学	日本	BL10XU	6
20	1998A0038-NX	-np	ゼオライト中の銀の局所構造変化のXAFSによる研究	阪根 英人	山梨大学	日本	BL01B1	6
21	1998A0039-CD	-np	高圧下のカルコゲナの構造	永田 潔文	福岡大学	日本	BL10XU	6
22	1998A0040-NL	-np	放線菌由来ホスホリパーゼDの結晶構造と機能の解析	山根 隆	名古屋大学	日本	BL41XU	4
23	1998A0041-CD	-np	超臨界流体水銀の構造	田村剛三郎	広島大学	日本	BL04B1	18
24	1998A0042-CD	-np	高温高圧下の超臨界流体セレンの構造	乾 雅祝	広島大学	日本	BL04B1	12
25	1998A0043-NS	-np	Local distortion of silicate perovskite at very high pressure	Li Zhang	University of Marburg	Germany	BL09XU	6
26	1998A0044-NX	-np	ゼオライト細孔内に固定化した金属イオン光触媒のXAFS研究	山下 弘巳	大阪府立大学	日本	BL01B1	6
27	1998A0046-NL	-np	光化学系I反応中心複合体のX線結晶構造解析	佐藤 和彦	姫路工業大学	日本	BL41XU	1
28	1998A0047-NX	-np	固相拡散反応によるY-Ni系の相変態	中井 生央	鳥取大学	日本	BL01B1	5
29	1998A0048-CX	-np	金属内包のC60のXAFS	久保園芳博	岡山大学	日本	BL01B1	5
30	1998A0050-NX	-np	析出沈殿法でCeO2に担持されたPd,Ag微粒子のXAFS研究	松村 安行	大阪工業技術研究所	日本	BL01B1	2
31	1998A0051-CD	-np	ハロゲン架橋一次元金属錯体の微小結晶構造解析および光誘起構造変化の研究	鳥海幸四郎	大阪工業大学	日本	BL02B1	15
32	1998A0053-ND	-np	高温高温条件下での珪酸塩ゲルネットワークのレオロジー特性のその場観察	安東 淳一	広島大学	日本	BL04B1	3
33	1998A0054-NL	-np	熱安定アスパラギン酸アミノ基転移酵素のX線構造解析	甲津 達	大阪市立大学	日本	BL41XU	2
34	1998A0055-NOD	-np	C60-シクロデキストリン複合体の微小結晶のX線構造解析	伊斐 泰	大阪大学	日本	BL02B1	3
35	1998A0056-NX	-np	軽希土類酸化物、炭化物および、窒化物のK吸収線のXAFS測定	山本 孝夫	大阪大学	日本	BL01B1	5
36	1998A0057-NL	-np	バクテリアロドプシンのX線結晶構造解析	神山 勉	名古屋大学	日本	BL41XU	3
37	1998A0058-NL	-np	光捕集複合体の低温X線結晶構造解析	神山 勉	名古屋大学	日本	BL41XU	1
38	1998A0059-CD	-np	高圧力下でのGa2Se3 とGaSeの構造	匠 正治	福岡大学	日本	BL10XU	12
39	1998A0060-CD	-np	擬2次元磁性体A2CuF4 (A=K, Rb, Cs)の超高温・低温下での結晶構造解析	石塚 守	大阪大学	日本	BL10XU	9
40	1998A0061-NL	-np	Extracting Phase Information from Laue Diffraction Data	Hao Quan	De Montfort University	U.K.	BL44B2	6
41	1998A0063-NM	-np	放射光を利用したCVDおよびアブレレーションによる薄膜形成	吉田 明	豊橋技術科学大学	日本	BL27SU	45
42	1998A0064-CD	-np	PbZrO3の圧力-温度相図の決定	遠藤 将一	大阪大学	日本	BL04B1	3
43	1998A0065-ND	-np	マキシマムエントロピー法によるフラレン化合物の構造研究	坂田 誠	名古屋大学	日本	BL02B1	12
44	1998A0067-ND	-np	X線散乱散乱法によるニッケル合金中の照射欠陥構造解析	松井 恒雄	名古屋大学	日本	BL02B1	9
45	1998A0068-NM	-np	原子・分子の共鳴オージェ電子分光装置の高性能化	鈴木 功	電子技術総合研究所	日本	BL27SU	1
46	1998A0070-NS	-np	高分子ゲルにおけるダイナミクスの核共鳴散乱による研究	原 一広	九州大学	日本	BL09XU	6
47	1998A0072-NL	-np	SRマイクロビームを用いた細胞中金属イオン分布に関する研究	モリタ、功利(栗)	京都大学	日本	BL39XU	9
48	1998A0075-CL	-np	臨床医学試料の全反射蛍光X線分析法の開発	中井 豊	東京理科大学	日本	BL39XU	15
49	1998A0076-NL	-np	バシリルRNA合成酵素とtRNAValの複合体のX線結晶構造解析	瀧木 理	東京大学	日本	BL41XU	9
50	1998A0078-NL	-np	ショウジョウバエ性決定因子SxlとターゲットRNAの複合体のX線結晶構造解析	瀧木 理	東京大学	日本	BL41XU	3
51	1998A0080-NM	-np	100-150 keVモノクロメーターの評価実験	山岡 人志	理学化学研究所	日本	BL08W	39
52	1998A0081-CD	-np	融剤を用いた黒鉛-ダイヤモンド変換のその場観察	内海 渉	日本原子力研究所	日本	BL04B1	12
53	1998A0082-ND	-np	電荷分離を起こすペロブスカイト型酸化物の粉末構造解析	森本正太郎	大阪大学	日本	BL02B1	6
54	1998A0083-ND	-np	電荷分離を起こすペロブスカイト型酸化物の単結晶構造解析	森本正太郎	大阪大学	日本	BL02B1	9
55	1998A0084-CD	-np	電荷分離を起こすペロブスカイト型酸化物の高圧下での構造変化	森本正太郎	大阪大学	日本	BL10XU	6
56	1998A0085-CX	-np	XAFSビームラインの総合性能評価I-高エネルギー領域	西畑 保雄	日本原子力研究所	日本	BL01B1	12
57	1998A0086-ND	-np	X線定在波法による半導体電極表面の構造解析	高橋 正光	日本原子力研究所	日本	BL09XU	12
58	1998A0087-ND	-np	一次元化合物NbI4の圧力誘起超伝導-金属転移における結晶構造の研究	川村 春樹	姫路工業大学	日本	BL10XU	9
59	1998A0088-CD	-np	分子性結晶の高圧下の構造転移	川村 春樹	姫路工業大学	日本	BL10XU	12
60	1998A0089-CL	-np	小角散乱ビームラインの骨格筋X線回折実験への応用のテスト	八木 直人	高輝度科学センター	日本	BL45XU	18
61	1998A0090-CD	-np	高圧下におけるガラス転移点付近でのSiO2とGeO2の構造解析	北村 直之	大阪工業技術研究所	日本	BL04B1	3
62	1998A0092-NS	-np	鉄を含むLaves相化合物の硬X線領域での磁気円二色性	水牧仁一朗	高輝度科学センター	日本	BL39XU	9
63	1998A0093-NS	-np	多価イオン光吸収実験装置の性能評価実験	大浦 正樹	理学化学研究所	日本	BL23SU	6
64	1998A0094-NS	-np	Xe, O等原子イオンの光吸収実験	山岡 人志	理学化学研究所	日本	BL23SU	6
65	1998A0096-NL	-np	DNA修復酵素のX線結晶構造解析	福山 恵一	大阪大学	日本	BL41XU	6
66	1998A0097-CD	-np	IPを用いた時間分解強度測定による光励起単結晶構造解析法の開発	小澤 芳樹	姫路工業大学	日本	BL02B1	12
67	1998A0098-NL	-np	ウシ心筋チロトロム酸分解酵素の高分解能X線結晶構造解析	月原 富武	大阪大学	日本	BL41XU	18
68	1998A0101-ND	-np	Nd-Fe-B系非晶合金の超高温下結晶化過程のX線回折によるその場観察	広沢 哲	住友特殊金属	日本	BL04B1	3
69	1998A0102-CL	-np	アンジュレタ光を用いた高分解能小角散乱装置による生体高分子の溶液散乱測定	猪子 洋二	大阪大学	日本	BL45XU	9
70	1998A0103-CS	-np	アモルファス強磁性体の核共鳴散乱	那須 三郎	大阪大学	日本	BL09XU	12
71	1998A0106-NL	-np	G-CSFとG-CSFレセプターの複合体の結晶構造解析	森川 耿右	微生物分子工学研究所	日本	BL41XU	6
72	1998A0107-NL	-np	ウシロドプシンの結晶構造解析	岡田 哲二	名古屋大学	日本	BL41XU	1
73	1998A0108-CD	-np	高温における液体テルルの構造	辻 和彦	慶應義塾大学	日本	BL04B1	12
74	1998A0109-CD	-np	液体カルコゲナの構造の圧力変化	辻 和彦	慶應義塾大学	日本	BL04B1	12
75	1998A0110-CD	-np	III-V化合物の高圧相からのアモルファス化	辻 和彦	慶應義塾大学	日本	BL10XU	12
76	1998A0111-CX	-np	高温高圧下における液体テルル、ヨウ素のXAFS	片山 芳則	日本原子力研究所	日本	BL01B1	6
77	1998A0112-NOM	-np	高温高圧下における液体セレンの密度	片山 芳則	日本原子力研究所	日本	BL10XU	21

PRESENT STATUS OF SPring-8

No.	課題番号	利用研究課題	実験責任者	所属	国名	ビームライン	7/97	
78	1998A0113-NM	-np	高輝度X線ビーム照射下に於ける電離箱の挙動	鈴木 昌世	高輝度光科学研究センター	日本	BL47XU	12
79	1998A0114-ND	-np	crystalite(SiO <sub>2</sub> )の高圧実験における静水圧性影響	山片 正明	日本原子力研究所	日本	BL04B1	3
80	1998A0115-NL	-np	G蛋白質共役型レセプター(ロドプシン)の立体構造の解析	津田 基之	姫路工業大学	日本	BL41XU	1
81	1998A0116-NL	-np	FMN結合蛋白質結晶を用いたラウエ回折データの評価	森本 幸生	姫路工業大学	日本	BL44B2	2
82	1998A0118-CL	-np	ビタミンB <sub>12</sub> と結合する酵素ジオールデヒドラーゼの構造研究	森本 幸生	姫路工業大学	日本	BL41XU	3
83	1998A0119-NL	-np	Crystal structure analysis of the N-terminal SH2/SH3/SH2 composite domains of the human Ras-specific GTPase-activating-protein GAP120 complexed to a di-phosphorylated peptide comprising its target sequence at p190	Pai Emil. F.	University of Toront & Ontario Cancer Institute	Canada	BL41XU	6
84	1998A0122-NM	-np	90° 磁気コンプトンプロファイル測定法	坂井 信彦	姫路工業大学	日本	BL08W	24
85	1998A0123-NS	-np	磁性金属の磁気コンプトンプロファイルによる研究	坂井 信彦	姫路工業大学	日本	BL08W	30
86	1998A0124-ND	-np	偏光切換による長周期磁気コンプトン散乱測定法	坂井 信彦	姫路工業大学	日本	BL08W	42
87	1998A0126-ND	-np	ペロフスカイト型酸化物La <sub>1-x</sub> Sr <sub>x</sub> MnO <sub>3</sub> におけるMn-3d(eg)電子の軌道分布状態の研究	小泉 昭久	姫路工業大学	日本	BL08W	21
88	1998A0127-NS	-np	Gd/Fe/Al スパッタ多層膜におけるX線磁気円二色性	小泉 昭久	姫路工業大学	日本	BL39XU	15
89	1998A0129-NL	-np	Hmc(高分子量c型チトクロム)のX線結晶構造解析	柴田 直樹	姫路工業大学	日本	BL41XU	3
90	1998A0130-ND	-np	Mg <sub>2</sub> SiO <sub>4</sub> スピネルのMgOとMgSiO <sub>3</sub> ペロフスカイトへの分解反応のキネティックスの研究	大谷 栄治	東北大学	日本	BL04B1	9
91	1998A0131-ND	-np	MgOとMgSiO <sub>3</sub> ペロフスカイトの音速とX線密度の同時測定:完全熱力学解析による状態方程式(絶対圧スケール)の確立	米田 明	岡山大学	日本	BL04B1	6
92	1998A0132-NM	-np	超平面波X線光学系を用いたシリコンの極微小ひずみの検出	川戸 清爾	ソニ- ㈱	日本	BL09XU	9
93	1998A0133-CD	-np	粉末回折実験における結晶アナライザーおよび長尺水平平行スリットの分解能評価	虎谷 秀徳	名古屋工業大学	日本	BL02B1	6
94	1998A0134-NX	-np	半導体極微細構造中のErの局所構造に関する研究	石井 真史	高輝度光科学研究センター	日本	BL10XU	7
95	1998A0135-CS	-np	表面単原子層からの内部転換電子放射の測定	岡野 達雄	東京大学	日本	BL09XU	6
96	1998A0136-ND	-np	X線磁気回折による3d遷移金属元素の軌道磁気モーメントの直接測定	伊藤 正久	姫路工業大学	日本	BL39XU	10
97	1998A0137-CM	-np	移相子と直線偏光子を用いる単色X線磁気回折法の開発	伊藤 正久	姫路工業大学	日本	BL39XU	10
98	1998A0138-ND	-np	高圧下におけるシリカおよび元系アルカリケイ酸塩ガラス/メルトのX線構造解析	舟越 賢一	高輝度光科学研究センター	日本	BL14B1	10
99	1998A0139-ND	-np	核共鳴非弾性散乱によるFe系酸化物ガラスの振動状態の研究	鈴谷賢太郎	日本原子力研究所	日本	BL09XU	18
100	1998A0140-ND	-np	高エネルギーX線回折による非晶質物質の高分解能観察	鈴谷賢太郎	日本原子力研究所	日本	BL08W	19
101	1998A0141-NM	-np	Speckle Without The Pinhole	Baron Alfred	高輝度光科学研究センター	日本	BL47XU	15
102	1998A0144-ND	-np	Hydrous -phase及びhydroous -phaseの状態方程式	井上 徹	愛媛大学	日本	BL04B1	3
103	1998A0145-ND	-np	(Mg <sub>0.9</sub> Fe <sub>0.1</sub> ) <sub>2</sub> SiO <sub>4</sub> オリビンのスピネル-ガトスピネル相転移境界の精密決定	入船 徹男	愛媛大学	日本	BL04B1	9
104	1998A0146-ND	-np	MgSiO <sub>3</sub> 輝石のイルメナイト-ガーネット-ペロフスカイト転移境界のX線その場観察実験による精密決定	黒田 幸治	愛媛大学	日本	BL04B1	6
105	1998A0147-NM	-np	ダイヤモンド素子を用いた軟X線ビームライン用プロファイルモニターの開発研究	北村 英男	理化学研究所	日本	BL27SU	15
106	1998A0148-NM	-np	光位置モニターに用いるダイヤモンド素子の検出効率の波長依存性の測定	北村 英男	理化学研究所	日本	BL01B1	12
107	1998A0149-CD	-np	固体酸素高圧相の結晶構造解析と分子解離の探索	赤浜 裕一	姫路工業大学	日本	BL10XU	12
108	1998A0150-NL	-np	時分割ラウエ法による7-ヒドロキシステロイド脱水素酵素の反応機構の解析	野中 孝昌	長岡技術科学大学	日本	BL44B2	6
109	1998A0151-NL	-np	ウシガエル卵由来レクチンの原子分解能での結晶構造解析	野中 孝昌	長岡技術科学大学	日本	BL41XU	6
110	1998A0152-CD	-np	弾塑性体の一次相転移前駆現象	黒岩 芳弘	千葉大学	日本	BL02B1	6
111	1998A0153-CD	-np	六方晶チタン酸バリウムの相転移	野田 幸男	千葉大学	日本	BL02B1	6
112	1998A0154-CD	-np	CePのスピニ秩序化に伴う格子歪みと電荷秩序化	野田 幸男	千葉大学	日本	BL02B1	6
113	1998A0155-ND	-np	バナジウム化合物における電荷秩序パターン	野田 幸男	千葉大学	日本	BL02B1	6
114	1998A0156-ND	-np	四角酸の高圧相における水素の電子分布	野田 幸男	千葉大学	日本	BL02B1	15
115	1998A0157-ND	-np	La <sub>2-x</sub> Sr <sub>x</sub> CuO <sub>4</sub> (x=1/8)の電荷秩序化と格子歪	野田 幸男	千葉大学	日本	BL02B1	12
116	1998A0158-ND	-np	MEM法によるCsの圧力誘起s-d転移に関する電子密度分布状態の解析	大石 泰生	高輝度光科学研究センター	日本	BL10XU	12
117	1998A0160-NM	-np	軟X線光学用リフレクトローム型質量分析計の調整と高性能化	小谷野猪之助	姫路工業大学	日本	BL27SU	1
118	1998A0161-NM	-np	結晶光学系を用いたemittance測定	香村 芳樹	理化学研究所	日本	BL47XU	24
119	1998A0162-NM	-np	X線屈折レンズ(泡レンズ)の評価	香村 芳樹	理化学研究所	日本	BL47XU	15
120	1998A0163-ND	-np	Mg <sub>2</sub> SiO <sub>4</sub> -Fe <sub>2</sub> SiO <sub>4</sub> 系におけるスピネルからペロフスカイト+ペリクレスへの分解反応の精密決定	桂 智男	岡山大学	日本	BL04B1	9
121	1998A0164-NL	-np	マウスの屈折コントラストイメージング	山崎 克人	神戸大学	日本	BL47XU	18
122	1998A0165-ND	-np	SXS法を用いた異種金属電析過程のin situ構造追跡	魚崎 浩平	北海道大学	日本	BL14B1	10
123	1998A0166-ND	-np	ガーネット-ペロフスカイト相変態に伴うAlに富む相の解明	藤野 清志	北海道大学	日本	BL10XU	3
124	1998A0167-ND	-np	(Mg,Fe)SiO <sub>3</sub> エンスタタイト及びイルメナイトの高圧X線その場観察	藤野 清志	北海道大学	日本	BL04B1	3
125	1998A0168-CD	-np	X線回折散乱法による表面・界面構造研究	高橋 敏男	東京大学	日本	BL09XU	21
126	1998A0169-CD	-np	X線CTR散乱における多波回折効果	高橋 敏男	東京大学	日本	BL09XU	12
127	1998A0170-ND	-np	蛍光X線ホログラフィーによる表面界面構造解析	高橋 敏男	東京大学	日本	BL09XU	12
128	1998A0171-CD	-np	超臨界水の構造解析	八尾 誠	京都大学	日本	BL04B1	12
129	1998A0172-ND	-np	フローリー相互作用パラメーター測定における分子構造依存性に関する研究	陣内 浩司	科学技術振興事業団	日本	BL45XU	6
130	1998A0173-ND	-np	A2B <sub>4</sub> X <sub>2</sub> 強誘電体の集片双晶相の結晶構造解析	重松 宏武	名古屋大学	日本	BL02B1	6
131	1998A0175-NL	-np	硫黄原子脱離酵素のX線結晶構造解析	畑 安雄	京都大学	日本	BL41XU	3
132	1998A0176-CL	-np	高分解能結晶構造精密化に基づく生体高分子結晶構造解析ビームラインの性能評価	三木 邦夫	京都大学	日本	BL41XU	6
133	1998A0177-NL	-np	X線結晶解析によるDNA複製制御タンパク質の構造-機能相関の研究	三木 邦夫	京都大学	日本	BL41XU	3
134	1998A0178-NM	-np	数keV X線用位相ゾーンプレートの結像テスト	木原 裕	関西医科大学	日本	BL47XU	6
135	1998A0179-NX	-np	特異的濃縮生物中の重元素のXAFSによる局所構造解析	橋本 秀樹	榊原レリサーチセンター	日本	BL01B1	5
136	1998A0180-CD	-np	単結晶の蛍光X線ホログラフィー	林 好一	京都大学	日本	BL39XU	6
137	1998A0182-NL	-np	一連の変異型ヒト・リゾチームX線結晶構造解析	油谷 克英	大阪大学	日本	BL41XU	6
138	1998A0183-ND	-np	X線小角散乱によるエマルジョン粒子の構造解析	須藤 和冬	榊原レリサーチセンター	日本	BL45XU	6
139	1998A0184-NL	-np	マルトオリゴシルトラハロース合成酵素のX線結晶解析	松浦 良樹	大阪大学蛋白質研究所	日本	BL41XU	3
140	1998A0186-NL	-np	抗体の分子反応性制御に関する立体構造基盤の解明	山藤ゆり子	大阪大学	日本	BL41XU	2
141	1998A0187-CD	-np	AX <sub>2</sub> 型化合物の高圧相転移	大高 理	大阪大学	日本	BL04B1	9
142	1998A0188-CL	-np	時分割X線回折測定による光駆動プロトンポンプ(バクテリオロドプシン)の機能発現過程で生じる構造変化の実時間測定	徳永 史生	大阪大学	日本	BL45XU	6
143	1998A0189-ND	-np	X線定在波法による「電極/固体電解質/シリコニア」界面の構造解析	齋藤 彰	大阪大学	日本	BL09XU	12
144	1998A0190-NX	-np	超高感度表面XAFS法の開発と半導体超薄膜への応用	桑原 裕司	大阪大学	日本	BL10XU	7
145	1998A0191-NL	-np	ヘモグロビンの構造変化のX線結晶解析	森本 英樹	大阪大学	日本	BL44B2	4
146	1998A0192-NL	-np	脊椎動物ヘモグロビンの形成過程のX線結晶解析	森本 英樹	大阪大学	日本	BL44B2	4
147	1998A0193-CX	-np	ヨウ化物イオンの種々の溶媒中における溶媒和構造	渡辺 巖	大阪大学	日本	BL01B1	9
148	1998A0195-CX	-np	水溶液表面の全反射XAFS	渡辺 巖	大阪大学	日本	BL01B1	18
149	1998A0196-NL	-np	ラット心筋のX線回折実験	菅 弘之	岡山大学	日本	BL45XU	6
150	1998A0197-CX	-np	ゼオライト担持Pd触媒のXAFSによる構造解析	丹羽 幹	鳥取大学	日本	BL01B1	5
151	1998A0199-NX	-np	ヒ素テラリドの半導体-金属転移と局所構造	宮永 崇史	弘前大学	日本	BL01B1	5
152	1998A0200-ND	-np	D相準結晶Al-Pd-MnとAl-Ni-Coのフェイズ組成のX線による研究	松尾 欣枝	奈良女子大学	日本	BL02B1	6
153	1998A0201-NX	-np	XAFS分光法によるSnドープ酸化インジウム(ITO)膜の構造解析	梅咲 則正	大阪工業技術研究所	日本	BL01B1	2

No.	課題番号	利用研究課題	実験責任者	所属	国名	ビームライン	シート	
154	1998A0203-NL	-np	アデニル酸キナーゼのラウエ法時間分割解析のための基礎研究	山口 宏	関西学院大学	日本	BL44B2	3
155	1998A0204-NS	-np	高分解能光電子分光による金属/SiC界面形成初期過程	岩見 基弘	岡山大学	日本	BL25SU	18
156	1998A0205-CD	-np	高圧下におけるFe-FeS系融体の構造解析	浦川 啓	岡山大学	日本	BL04B1	9
157	1998A0208-ND	-np	高分解能粉末X線回折及び異常分散効果を利用したゼオライトの結晶構造解析	鳥海 美晴	柳屋レリサーチセンター	日本	BL02B1	6
158	1998A0209-ND	-np	Ni基半結晶合金のg/g1相格子定数 mismatchesの精密測定	左近 淑郎	三菱重工機	日本	BL02B1	6
159	1998A0210-NL	-np	光応答性ニトリルヒドラーゼのLOT時間分割結晶構造解析	神谷 信夫	理学化学研究所	日本	BL41XU	4
160	1998A0211-NL	-np	光応答性ニトリルヒドラーゼのLaue時間分割結晶構造解析	河野 能順	理学化学研究所	日本	BL44B2	12
161	1998A0214-CX	-np	転換電子および蛍光収量XAFS法による新しい赤色蛍光体(La <sub>1-x</sub> Eu <sub>x</sub> ) <sub>2</sub> O <sub>2</sub> CN <sub>2</sub> のEu周層の局所構造	高橋 昌男	大阪大学	日本	BL01B1	12
162	1998A0217-NX	-np	硬磁性材料Sm <sub>2</sub> Fe <sub>17</sub> Nxの局所構造と磁性特性	笠谷 祐史	静岡理工科大学	日本	BL01B1	5
163	1998A0218-NL	-np	DHFR変異体のX線解析から見た蛋白質分子の揺らぎ	片柳 克夫	広島大学	日本	BL41XU	6
164	1998A0219-CX	-np	XAFSビームラインの総合性能評価II 低、中エネルギー領域	江村 修一	大阪大学	日本	BL01B1	36
165	1998A0221-NL	-np	時間分解ラウエ法によるバクテリオロドプシンの反応中間状態のX線結晶構造解析	神山 勉	名古屋大学	日本	BL44B2	3
166	1998A0222-NL	-np	自動回折計によるヒドロキソクワターレクテンのMIROAS結晶構造解析	神谷 信夫	理学化学研究所	日本	BL41XU	30
167	1998A0223-NL	-np	高エネルギーX線によるXe加圧蛋白質結晶のSIRAS位相決定法の確立	神谷 信夫	理学化学研究所	日本	BL41XU	30
168	1998A0226-CM	-np	全反射蛍光X線・散乱X線測定による薄膜界面の分析法に関する研究	桜井 健次	金属材料技術研究所	日本	BL39XU	6
169	1998A0227-CM	-np	超微量化学状態分析実験のための高分解能蛍光X線検出システムの開発	桜井 健次	金属材料技術研究所	日本	BL39XU	9
170	1998A0228-CS	-np	微小液滴中超微量金属の化学状態分析	桜井 健次	金属材料技術研究所	日本	BL39XU	6
171	1998A0229-ND	-np	極薄絶縁膜のX線散乱による構造解析	安阿彌 繁	柳屋芝	日本	BL02B1	6
172	1998A0232-ND	-np	高圧 NaAlSi <sub>3</sub> O <sub>8</sub> (albite) メルトの粘性その場測定	神崎 正美	岡山大学	日本	BL04B1	9
173	1998A0233-ND	-np	Subsolidus Transition from Wadsleyite (Beta-Phase) to Spinell (Gamma-Phase) in the System Mg <sub>2</sub> SiO <sub>4</sub> as a function of Pressure and Temperature	Walter Michael J	岡山大学	日本	BL04B1	3
174	1998A0234-ND	-np	焼結ダイヤモンド立方体アンビルセルの圧力校正	伊藤 英司	岡山大学	日本	BL04B1	6
175	1998A0235-NX	-np	海洋生物の硬組織に特異的に濃集された元素の状態分析	沼子 千弥	徳島大学	日本	BL01B1	6
176	1998A0236-NOM	-np	生体鉱物及び関連する環境試料に濃集した元素の2次元イメージングと非破壊状態分析	中井 泉	東京理科大学	日本	BL39XU	15
177	1998A0237-ND	-np	FeSの高圧下における熱膨張の異常	草場 啓治	東北大学	日本	BL14B1	10
178	1998A0238-CS	-np	Tm化合物における高圧下・低温でのメズパウアー一分光	小林 寿夫	東北大学	日本	BL09XU	6
179	1998A0239-ND	-np	MgSiO <sub>3</sub> 系の高圧相転移関係の精密決定	小野 重明	岡山大学	日本	BL04B1	3
180	1998A0240-NS	-np	X線共鳴磁気散乱による3d遷移金属酸化物の電子状態の研究	並河 一道	東京学芸大学	日本	BL39XU	15
181	1998A0241-ND	-np	Drickamer型高圧装置と放射光を組み合わせた高温高圧実験システムの開発	八木 健彦	東京大学	日本	BL14B1	10
182	1998A0242-ND	-np	グロシュラー (Ca <sub>3</sub> Al <sub>2</sub> Si <sub>3</sub> O <sub>12</sub> ) の高温高圧平衡関係の解明	八木 健彦	東京大学	日本	BL04B1	9
183	1998A0243-ND	-np	ZnS, GaAs, 及びGaPの圧力定数の決定	八木 健彦	東京大学	日本	BL04B1	6
184	1998A0244-NL	-np	クロロコジバ酸性プロテアーゼAおよびカルシウム抑制因子のX線構造解析	田之倉 優	東京大学	日本	BL41XU	3
185	1998A0245-NX	-np	貴金属 セリア触媒のXAFSによる局所構造解析	金井 宏樹	京都府立大学	日本	BL01B1	2
186	1998A0246-NL	-np	ダイコンの水溶性クロロフィルタンパク質複合体の結晶構造解析	内田 胡	東邦大学	日本	BL41XU	1
187	1998A0248-CD	-np	ホスト・ゲスト包接化合物有機微結晶のX線構造解析	竹中 康之	北海道教育大学	日本	BL02B1	3
188	1998A0249-NS	-np	MCDによるGd/Fe, Y/Feアモルファス多層膜の磁性の研究	藤原 裕治	三重大学	日本	BL25SU	6
189	1998A0250-NX	-np	GdCo, GdFe薄膜の局所構造と垂直磁気異方性の解析	藤原 裕治	三重大学	日本	BL01B1	2
190	1998A0251-CS	-np	偏光変調モードによるPtL <sub>2,3</sub> -吸収端X線磁気円二色性の測定	圓山 裕	岡山大学	日本	BL39XU	15
191	1998A0252-NS	-np	MnL <sub>2,3</sub> -吸収端MCDによる強磁性Mn化合物の電子状態の研究	圓山 裕	岡山大学	日本	BL25SU	15
192	1998A0253-CS	-np	MCDによる強磁性3d遷移金属化合物における多電子励起状態	圓山 裕	岡山大学	日本	BL39XU	9
193	1998A0254-ND	-np	X線共鳴蛍光分光測定と偏光解析	圓山 裕	岡山大学	日本	BL39XU	11
194	1998A0255-NX	-np	XAFS測定によるエルビウム添加ガラスの局所構造の研究	芳賀 孝吉	住友電気工業	日本	BL01B1	6
195	1998A0256-NX	-np	ポリエステル重合触媒 (Sb化合物) の局所構造解析	神戸 秀臣	東洋紡織	日本	BL01B1	5
196	1998A0258-CX	-np	金属イオンのXANESスペクトルによるビームライン分解能の評価	田中 庸裕	京都大学	日本	BL01B1	18
197	1998A0259-NM	-np	X線集光用ゾーンプレート性能評価	宮地 英紀	京都大学	日本	BL47XU	6
198	1998A0260-NL	-np	ヒドロクナーゼの高分解能結晶構造解析	樋口 芳樹	京都大学	日本	BL41XU	2
199	1998A0262-NL	-np	フェレドキシシンとFd-NADP+還元酵素の複合体結晶解析	栗栖 源嗣	大阪大学	日本	BL41XU	1
200	1998A0263-CD	-np	3元合金の構造ゆらぎ	大橋 建一	筑波大学	日本	BL02B1	6
201	1998A0264-CD	-np	四面体分子結晶の超高圧下における結晶・アモルファス構造解析	浜谷 望	お茶の水女子大学	日本	BL10XU	21
202	1998A0265-CX	-np	酸化物ガラス中のNd <sub>3+</sub> イオンのK-吸収端EXAFSによる局所構造の研究	山口 博隆	電子技術総合研究所	日本	BL01B1	6
203	1998A0267-ND	-np	Nature of Atomic Disorder in Relaxor Ferroelectrics of PMN and PSN	Chen Haydn	University of Illinois at Urbana-Champaign	U.S.A.	BL02B1	12
204	1998A0268-CD	-np	ヘマタイト完全結晶における57Fe核共鳴ブラッグ散乱を用いたX線回折学の研究	安藤 正海	高エネルギー加速器研究機構	日本	BL09XU	9
205	1998A0269-CMOM	-np	14.4keV核共鳴X線波長の絶対測定	張 小威	高エネルギー加速器研究機構	日本	BL09XU	9
206	1998A0272-ND	-np	High Pressure Phase Transitions in Adamantane	Sikka S. K.	BARC	India	BL10XU	6
207	1998A0273-ND	-np	Investigation of pressure induced crystal - crystal phase transformations in a-AIPO <sub>4</sub> prior to amorphization	Sharma Surinder M.	BARC(Bhabha Atomic Research Center)	India	BL10XU	9
208	1998A0274-ND	-np	Single Crystal X-ray Diffraction Study of the Pure Phase Transformation in solid C70	Radhakrishnan T. S.	Indira Gandhi Centre for Atomic Research	India	BL02B1	6
209	1998A0275-NOS	-np	Magnetic Circular Dichroism (MCD) in Li <sub>0.5</sub> Ni <sub>0.5</sub> O Compound	Banerjee Alok	Inter University Consortium for DAE Facilities	India	BL25SU	9
210	1998A0277-ND	-np	Study of vibrational dynamics in transition metal - metalloid, metallic glasses	Gupta Ajay	IUC-DAEF	India	BL09XU	3
211	1998A0280-ND	-np	白金錯体の励起状態の結晶構造解析	植草 秀裕	東京工業大学	日本	BL02B1	3
212	1998A0281-CD	-np	放射光と真空カメラによる遷移金属結晶中の電子密度分布の超精密測定	田中 清明	名古屋工業大学	日本	BL02B1	6
213	1998A0282-NM	-np	Wolterミラーを用いた蛍光X線イメージングによる元素分析	渡辺 紀生	筑波大学	日本	BL39XU	9
214	1998A0283-CL	-np	細菌べん毛フィラメントのX線線維解析法による構造解析	難波 啓一	松下電器産業	日本	BL41XU	3
215	1998A0284-NL	-np	細菌べん毛構成タンパク質HAP2とフラジリン41kフラグメントのX線結晶構造解析	今田 勝巳	科学技術振興事業団	日本	BL41XU	1
216	1998A0285-CS	-np	円偏光電子回折	大門 寛	奈良先端科学技術大学院大学	日本	BL25SU	60
217	1998A0286-NL	-np	ウシ肝臓由来20Sプロテアソームの結晶構造解析	山下 栄樹	大阪大学	日本	BL41XU	5
218	1998A0287-CS	-np	強磁性及び半導体 金属転移の共存するペロブスカイト酸化物の磁気円二色性	今田 真	大阪大学	日本	BL25SU	42
219	1998A0289-ND	-np	Fe K-吸収端直前のATS散乱の研究	石田興太郎	東京理科大学	日本	BL39XU	9
220	1998A0291-NX	-np	高速・高感度XAFSのための超高密度半導体多素子検出器の開発	大柳 宏之	電子技術総合研究所	日本	BL10XU	7
221	1998A0292-NX	-np	Facility for temperature dependent XAFS at BL10XU	Saini Naurang L.	電子技術総合研究所	日本	BL10XU	7
222	1998A0293-NX	-np	微小結晶試料の偏光XAFS測定法の開発	李 哲虎	電子技術総合研究所	日本	BL10XU	7
223	1998A0294-ND	-np	有機機能性化合物微結晶の構造解析	安井 正憲	電気通信大学	日本	BL02B1	6
224	1998A0295-NX	-np	ビームラインXU10の蛍光XAFS測定装置の制御ソフトの開発	泉 康雄	東京工業大学	日本	BL10XU	11
225	1998A0296-NL	-np	Native Thin Filament 及びF-actin配光ゾルのX線線維回折	小田 俊郎	松下電器産業	日本	BL41XU	3
226	1998A0297-CL	-np	構造からみた酵素の耐熱化機構	田中 信夫	東京工業大学	日本	BL41XU	5
227	1998A0300-CD	-np	高いエネルギー準位をもつ原子核による核共鳴散乱	依田 芳卓	東京大学	日本	BL09XU	21
228	1998A0303-CM	-np	高分解能蛍光X線分光とスピン選択XAFS	早川慎二	東京大学	日本	BL39XU	10
229	1998A0304-CM	-np	走査型硬X線顕微鏡による微量元素の状態分析	早川慎二	東京大学	日本	BL39XU	10